



## سنگ‌نگاری، شیمی‌کانی‌ها و شکل‌گیری بخش پریدوتیتی در آمیزه افیولیتی راتوک (شرق ایران)

**زهره رحیمی نژاد\***، **محمدحسین زرین‌کوب**، **سیدسعید محمدی**

دانشگاه بیرجند، دانشکده علوم، گروه زمین‌شناسی

(دریافت مقاله: ۹۵/۷/۲۵، نسخه نهایی: ۹۵/۱۰/۵)

**چکیده:** منطقه مورد بررسی، بخشی از آمیزه افیولیتی زمین‌درز سیستان در شرق ایران است که در ۶۰ کیلومتری جنوب گزیک واقع شده است. واحدهای آمیزه افیولیتی منطقه راتوک شامل پریدوتیت (هارزبوزیت- لرزولیت)، گابرو (لایه‌ای و همسانگرد) و با گسترش کمتر دایکهای دیابازی و واحدهای گدازه‌ای است. بافت‌های غالب واحد پریدوتیتی دانه‌ای، ریزدانه‌ای، پوئی کلیتیک و مشبك بوده و بلورهای تشکیل‌دهنده آن‌ها الیوین، پیروکسن و به مقدار کم اسپینل هستند. بررسی ریزپردازش کانی‌های الیوین، پیروکسن و اسپینل در پریدوتیت‌ها نشان می‌دهد که الیوین از نوع فورستریت ( $Fa_{0.88-0.97.4}$ )، ارتپیروکسن از نوع انستاتیت و اسپینل بیشتر آلومینیوم- کرومدار و بندرت آهن دار ( $Chr_{0.003-0.691} Mag_{0.028-0.997}$ ) است. نتایج حاصل از شیمی کانی‌های اسپینل و الیوین نشان می‌دهد که پریدوتیت‌های مورد بررسی از نوع گوشه‌ای و افیولیت مورد مطالعه از نوع MORB بوده و از یک خاستگاه گوشه‌شده اسپینل لرزولیتی با درجه ذوب‌بخشی بیش از ۲۰ درصد حاصل شده‌اند. در الگوی عناصر کمیاب پریدوتیت‌ها بهنجار شده با گوشه‌ای اولیه، برای عناصر  $Cs, Th, La, P, K$  ناهنجاری مثبت و برای عناصر  $Sr, Rb, Ba, Nb, Ce, Zr, Ti$  ناهنجاری منفی مشاهده می‌شود. غنی‌شدگی نسبی از LREE نسبت به HREE می‌تواند تحت تاثیر فرآیندهای ثانویه نظیر دگرسانی و دگرهادی یا تله گدازه صورت گرفته باشد. دماسنجدی ارتپیروکسن در پریدوتیت‌ها برای فشار ۱ تا ۱۰ کیلوبار دمایی بین ۹۵۰ تا ۱۳۰۰ درجه سانتی‌گراد را نشان می‌دهد.

**واژه‌های کلیدی:** دماسنجدی؛ پریدوتیت؛ مورب؛ راتوک؛ زمین‌درز سیستان.

بین صفحات قاره‌ای قرار می‌گیرند [۳]. بررسی‌ها نشان داده است که ترکیب سنگ‌های گوشه‌ای توسط فرآیندهای پیچیده ذوب گوشه و همچنین واکنش سیالات در حال حرکت کنترل می‌شود که می‌تواند اطلاعات مهمی درباره ماهیت ذوب‌بخشی، خاستگاه گدازه و محیط زمین‌ساختی مagmaی تشکیل افیولیت ارائه دهد [۴]. مجموعه‌های افیولیتی ایران در مناطق زمین‌درز از جمله زاگرس، البرز (مربوط به بسته شدن تیس دیرینه)، شرق ایران (از جمله زمین‌درز سیستان) و ایران مرکزی واقع شده‌اند [۵].

زمین‌درز سیستان ناشی از برخورد بلوك قاره‌ای لوت با

**مقدمه**  
افیولیت‌ها راهنمای مهمی در مطالعه چگونگی تشکیل حوضه‌های اقیانوسی، ناپدید شدن آن‌ها در گذشته و جغرافیای گذشته زمین (توزیع قاره‌ها و اقیانوس‌ها) در میلیون‌ها سال پیش هستند [۱]. این مجموعه سنگی بقایایی از یک سنگ‌کره اقیانوسی هستند که در موقعیت‌های زمین-ساختی مختلف از جمله پشت‌های میان اقیانوسی، مراکز گسترش پشت کمان و محیط‌های گسترش مناطق کششی بالای منطقه فروزانش تشکیل شده و بواسیله پدیده‌های زمین-ساختی به حاشیه قاره‌ها فرارانده شده [۲] و یا بدون فرارانش

\*نویسنده مسئول، تلفن: ۰۹۱۵۳۶۳۲۹۹۷، پست الکترونیکی: zohre\_rahimi\_nejad@birjand.ac.ir

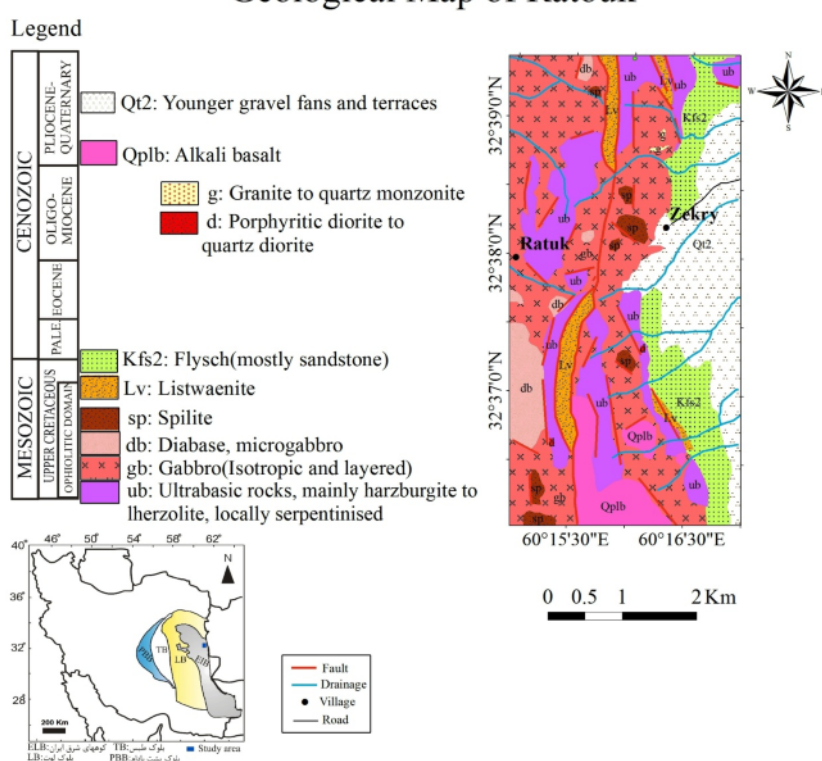
و زمین‌شیمی بخش پریدوتیتی مجموعه افیولیتی راتوک، سنگ‌زایی و محیط زمین‌ساختی این واحدها تعیین گردد.

### زمین‌شناسی

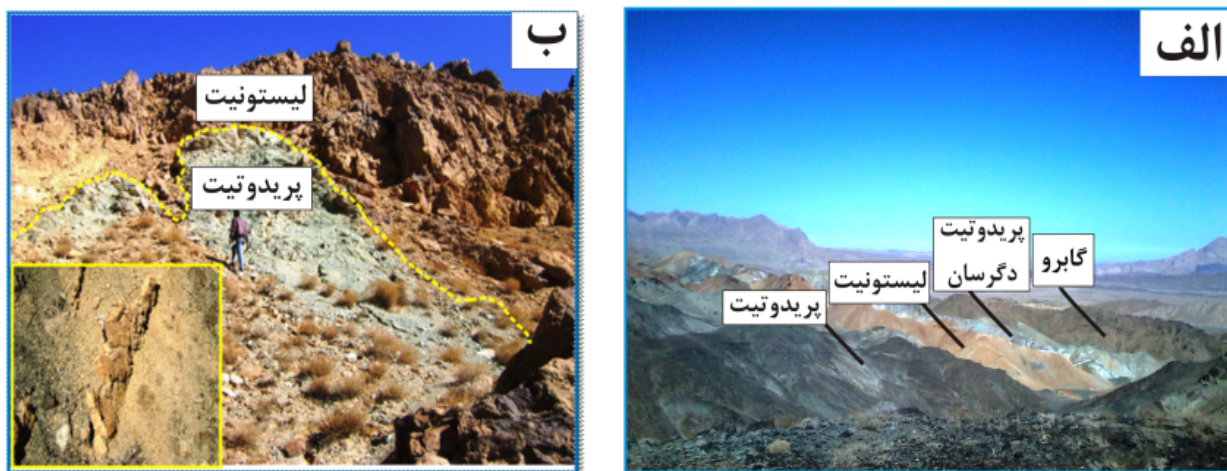
براساس نقشه زمین‌شناسی تهیه شده از منطقه مورد بررسی (شکل ۱)، واحدهای سنگی شامل: واحدهای آمیزه افیولیتی به سن کرتاسه پسین (پریدوتیت، گابرو، دایک‌های صفحه‌ای و واحدهای گدازه‌ای) (شکل ۲ الف)، فلیش منسوب به کرتاسه پسین - پالئوسن، توده‌های نفوذی و نیمه عمیق (با سن ترشیری) مربوط به پس از جایگیری آمیزه افیولیتی و واحدهای آتشفسانی پلیوکواترنر هستند. پریدوتیت‌ها با گستردگی نسبتاً زیاد، بشکل قطعه‌هایی با مرزهای گسلی در کنار سایر واحدها رخنمون دارند. این واحد سنگی به طور نسبی سرپانتینی و در پهنه‌های گسلی لیستونیتی شده‌اند. وجود کانی‌های سرپانتین می‌تواند دلیلی بر آبگیری گوشته و چرخه آب در عمق زمین باشد [۱۵]. لیستونیت در سه گروه سیلیسی، کربناتی و سیلیسی - کربناتی [۱۷، ۱۶]، با ریخت‌شناسی برجسته به صورت رگه‌هایی با پهنه‌ای تا بیش از ۵۰ متر در منطقه‌های گسله با روند شمال غرب - جنوب شرق دیده می‌شود (شکل ۲ ب).

افغان و بسته شدن باریکه اقیانوسی بین این دو است. این اقیانوس در کرتاسه پیشین (آپسین تا آلبین) حیات داشته [۶] و قبل از ۸۶ میلیون سال پیش (اوایل کرتاسه پسین) بسته شده و منطقه جوش خورده سیستان را ایجاد کرده است [۵، ۷]. آمیزه‌های افیولیتی زمین‌درز سیستان، در دو مجموعه مجزا با نامهای کمپلکس نه و راتوک [۸] معرفی شده‌اند. بخش‌هایی از این مجموعه آمیزه افیولیتی توسط افراد مختلف بررسی شده است و عده‌ای این مجموعه افیولیتی را در زمرة نوع ابرفروزانش و برخی آنها را از نوع مورب معرفی کرده‌اند [۹، ۱۱-۱۳]. منطقه مورد بررسی در بخش شمالی زمین‌درز سیستان در محدوده نقشه زمین‌شناسی ۱:۱۰۰۰۰۰ [۱۲] و در ۶۰ کیلومتری جنوب گزیک، در بخش شرقی روستای راتوک بین طول‌های جغرافیایی  $15^{\circ} 36'$  و  $17^{\circ} 60'$  شرقی و عرض‌های جغرافیایی  $32^{\circ} 39'$  و  $33^{\circ} 29'$  شمالی واقع شده است. از آنجائیکه استفاده از ترکیب عناصر موجود در کانی کروم اسپینل در پریدوتیت‌ها می‌تواند برای تعیین خصوصیات و شکل‌گیری این واحدها راهگشا باشد [۱۴، ۱۳] در این پژوهش سعی بر آن است که با بررسی خصوصیات صحرایی، سنگنگاری، شیمی کانی‌ها

Geological Map of Ratouk



شکل ۱ نقشه زمین‌شناسی منطقه راتوک برگرفته از نقشه ۱:۱۰۰۰۰۰ [۱۲] با اصلاحات و ترسیم مجدد.



شکل ۲ الف) نمای کلی از واحدهای مجموعه افیولیتی راتوک، دید به سمت شمال شرق. ب) لیستونیت‌ها با پهنه‌ای متفاوت با میزان پریدوتیتی، دید به سمت شرق.

الکترونی (Cameca SX100) با ولتاژ شتابدهنده KV ۱۵ و شدت جریان ۲۰ mA با مدت زمان شمارش ۱۵-۲۰ ثانیه و قطر باریکه الکترونی متتمرکز ۱ تا ۳ میکرون انجام شد. تفسیر داده‌ها به کمک نرم‌افزارهای Minpet، GCDkit و ArcGIS انجام و نقشه زمین‌شناسی منطقه با نرم‌افزار PTMAFIC رسم شد.

### سنگنگاری

**پریدوتیت:** براساس بررسی‌های میکروسکوپیکی، پریدوتیت‌ها در دو گروه هارزبیوژیت و لرزولیت رده‌بندی شده‌اند. بافت غالب در پریدوتیت‌ها ریزدانه‌ای، پوئی کلیتیک (الیوین درون پیروکسن) و مشبک است. الیوین، ارتوبیروکسن و کلینوبیروکسن کانی‌های اصلی و اسپینل کانی فرعی این سنگ هستند. الیوین در پریدوتیت‌ها، به صورت بلورهای درشت نیمه شکل دار با اندازه ۳ تا ۵ میلی‌متر و گاهی ریز و بی‌شکل در زمینه سنگ و در فضاهای خلیجی ارتوبیروکسن‌ها مشاهده می‌شوند که به دو نسل اولیه و الیوین واکنشی قابل تفکیک‌اند. الیوین‌های نسل اول که در طی تبلور ماقما حاصل شده‌اند، بیشتر درشت و دگرسان شده‌اند، اما الیوین‌های واکنشی، بصورت ریزدانه و کمتر دگرسان شده‌اند (شکل ۳ الف). رجی و ترابی [۱۹]، تشکیل الیوین‌های جایگزینی را در اثر ذوب‌بخشی پریدوتیت‌های گوشه و در تماس با گذاره بازالتی می‌دانند. با گسترش فرآیند ذوب، ارتوبیروکسن‌ها دچار ذوب نامتجانس شده و بلورهای الیوین جایگزینی طی واکنش زیر در کناره این کانی تشکیل می‌شوند:

گابروها با ساختهای همسانگرد و لایه‌ای از گستردگی نسبتاً زیادی برخوردارند. واحد گذارهای به صورت پراکنده در منطقه، با ساخت توده‌ای و بالشی بر روی گابروها و پریدوتیت‌ها رخنمون دارد. علاوه بر واحدهای مجموعه افیولیتی، واحدهای دیگری مانند شیل و ماسه سنگ‌های مربوط به رخساره فلیش منسوب به کرتاسه پسین-پالئوسن در این منطقه دیده می‌شوند. واحدهای دیوریت، کوارتزدیوریت پورفیری و توده‌های نفوذی گرانیت و کوارتزمنزونیت به صورت توده‌های کوچک در درون واحدهای مجموعه افیولیتی بروزد دارد که به ترشیری نسبت داده شده‌اند [۱۲]. سنگ‌های آتش‌شکنی جوان پساافیولیتی منسوب به پلیکواترنر [۱۲] در منطقه راتوک فراوان است که روی کلیه واحدهای قدیمی منطقه ریخته‌اند [۱۸].

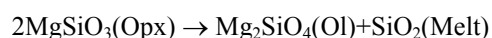
### روش بررسی

پس از بررسی‌های صحرایی و برداشت ۱۲۰ نمونه سنگی، تعداد ۱۰۰ مقطع نازک میکروسکوپی تهیه و با میکروسکوپیکی قطبشی مدل Leitz بررسی شدن. ۲ نمونه پریدوتیت با کمترین دگرسانی، برای انجام بررسی سنگ کل به روش ICP-ES به منظور تعیین مقدار عناصر اصلی و ICP-MS برای عناصر کمیاب و خاکی نادر به آزمایشگاه ACME کانادا ارسال شدند. همچنین سه مقطع نازک صیقلی از پریدوتیت برای بررسی نقطه‌ای (EPMA) کانی‌های الیوین، پیروکسن و اسپینل به آزمایشگاه مرکز تحقیقات فرآوری مواد معدنی ایران، ارسال شد. تجزیه نقاط با استفاده از دستگاه ریزپردازشگر

می‌شوند. بافت غالب در گابروها، دانه‌ای و پوئی کلیتیک و کانی‌های اصلی موجود شامل پلازیوکلاز و کلینوپیروکسن هستند. الیوین و در برخی مقاطع کانی‌های کدر به صورت پراکنده، کانی‌های فرعی این سنگ‌ها را می‌سازند. پلازیوکلازها بر اساس زاویه خاموشی در گستره لابرادوریت قرار می‌گیرند. ماکل کوتاه‌شونده در پلازیوکلازهای موجود در گابروها لایه‌ای مشاهده می‌شود (شکل ۳ ث). این دگرشکلی در دمای بالا رخ می‌دهد [۲۰، ۲۵]. کلینوپیروکسن (دیوپسید) بیشتر بصورت بی‌شکل تا نیمه‌شکل دار وجود دارد. حضور پلازیوکلاز درون پیروکسن از ویژگی‌های افیولیت‌های نوع مورب است [۲۶] که در این سنگ‌ها دیده می‌شود (شکل ۳ ج).

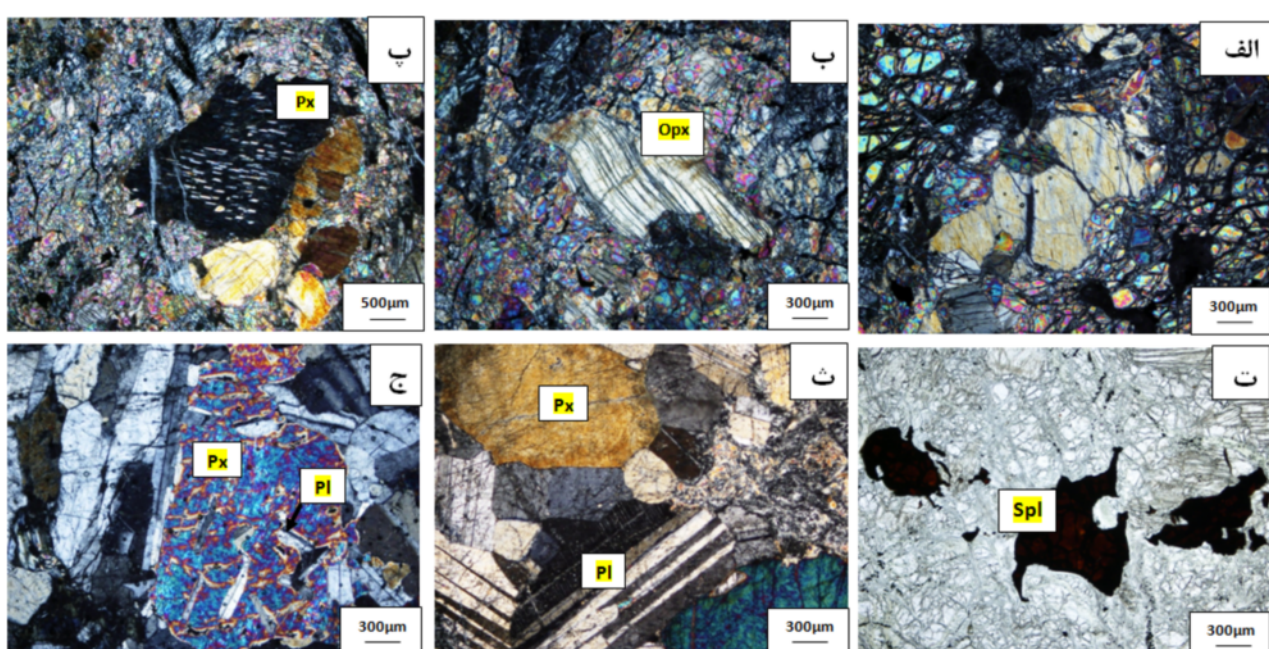
**دیاباز:** بافت غالب در این سنگ‌های بافت‌های افیتیک و ساب افیتیک است. پلازیوکلاز و پیروکسن از کانی‌های اصلی در این سنگ‌ها هستند.

**واحد گدازه‌ای:** گدازه‌ها دارای بافت غالب واریولیتی (دم چلچله‌ای) هستند. بافت واریولیتی در پلازیوکلازهای گدازه‌های بالشی متداول است که از مشخصه‌های سرد شدگی سریع گدازه‌ها در اثر تماس با آب دریاست [۲۷]. پیروکسن و پلازیوکلاز تنها فنوکریست‌های این سنگ‌ها هستند.



اندازه بلورهای پیروکسن از ۱ تا ۳ میلی متر تغییر می‌کند. ارتوپیروکسن و الیوین‌های درشت آثاری از دگرشکلی شکل‌پذیر مانند نوارشکنجی را نشان می‌دهند (شکل ۳ ب)، که می‌تواند ناشی از شرایط گوشته‌ای و رخداد دگرشکلی کشسان دمای بالا باشد [۲۰-۲۲]. در برخی نمونه‌های لرزولیتی مورد بررسی، تیغه‌های عدم آمیزشی کلینوپیروکسن به موازات رخ‌های ارتوپیروکسن دیده می‌شود (شکل ۳ پ). تیغه‌های عدم آمیزشی ناشی از عدم ترکیب پیروکسن‌های دارای کلسیم، منیزیم و آهن است، بطوری که با کاهش تدریجی دما، پیروکسن فقیر از کلسیم از پیروکسن غنی از کلسیم جدا می‌شود [۲۳]. کروم اسپینل و کرومیت به عنوان کانی‌های اولیه در سنگ‌های فرامافیک وجود دارند و به دلیل مقاومت بالای آنها در برابر فرآیندهای دگرسانی گرمابی و دگرگونی به نسبت سالم می‌مانند [۲۴]. کروم اسپینل به صورت فرعی، بی‌شکل تا نیمه‌شکل دار در فضای بین پیروکسن و الیوین مشاهده می‌شود (شکل ۳ ت).

**گابرو:** براساس بررسی‌های میکروسکوپیکی، گابروها منطقه، در سه گروه گابرو، الیوین گابرو و تروکتولیت رده‌بندی



شکل ۳ الف: حضور بلورهای الیوین و ارتوپیروکسن. ب: تیغه‌های عدم آمیزشی کلینوپیروکسن به موازات رخ‌های ارتوپیروکسن در پیریدوتیت. پ: خمیدگی رخ‌های ارتوپیروکسن در پیریدوتیت. ث: ماکل کوتاه‌شونده در پلازیوکلاز درون گابرو. ج: قرارگیری پلازیوکلاز درون پیروکسن در گابرو. شکل‌های الف، ب، پ، ث، ج، در نور متقاطع (XPL) و شکل ت در نور موازی (PPL) گرفته شده‌اند. علائم اختصاری با اقتباس از [۲۸] عبارتند از: Pl = پلازیوکلاز، Px = پیروکسن، Opx = ارتوپیروکسن، Spl = اسپینل.

[۳۲]

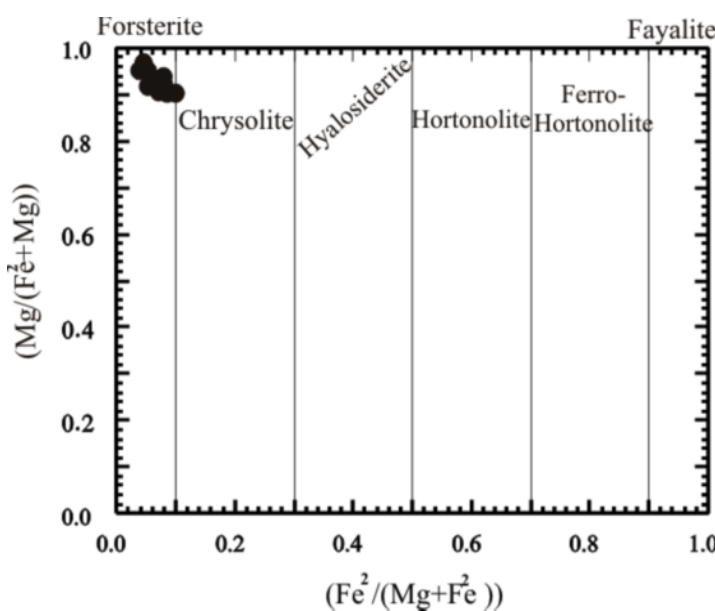
## شیمی کانی

الیوین: الیوین از جمله کانی‌هایی است که با آگاهی از ترکیب شیمیایی آن می‌توان ویژگی‌های زمین‌ساختی و مباحثت مربوط به سنگ‌زایی ماقما را بررسی نمود [۳۳]. براساس نتایج تجزیه شیمیایی کانی الیوین (جدول ۱)، مقدار  $MgO$ (wt%) از  $8,86$  تا  $47,09$  درصد در تغییر است و کانی دارای ترکیب شیمیایی  $Fo_{88.3-97.4}$  است. طبق رده‌بندی واگر و دی‌یر [۳۴] ترکیب الیوین موجود در پریدوتیت‌ها در گستره فورستریت قرار می‌گیرد (شکل ۴).

داده‌های شیمیایی کانی‌ها در کنار ویژگی‌های میکروسکوپیکی سنگ‌ها، ابزار بسیار مفیدی در تفسیرهای سنگ‌شناسی و زمین‌دینامیکی است [۲۹،۳۰]. از آنجائی که ترکیب شیمیایی کانی‌هایی مانند کروم‌اسپینل می‌تواند در شناخت ماهیت و شرایط تشکیل پریدوتیت‌های گوشته موثر باشد [۳۱] لذا، برای شناخت ترکیب شیمیایی، نامگذاری، تعیین دما و فشار تبلور تعادلی مجموعه‌های کانی‌ای واحد سنگی فرامافیک منطقه، از تجزیه شیمیایی کانی‌های الیوین، پیروکسین و اسپینل استفاده شده است. عبارتی ترکیب اسپینل و الیوین برای پی بردن به گوشته‌ای بودن پریدوتیت‌های مورد بررسی بسیار موثر است

جدول ۱ نتایج تجزیه ریزپردازش الکترونی کانی الیوین در پریدوتیت‌های مجموعه آمیزه افیولیتی راتوک.

(Wt%), Min	OI 5	OI 6	OI 7	OI 8	OI 16	OI 17	OI 5	OI 6	OI 7	OI 8	OI 16	OI 17
اکسید	تعداد کاتیون‌ها برایه ۴ اکسیژن											
$SiO_2$	۴۲,۰۹	۴۱,۴۶	۴۱,۵۹	۴۲,۳۷	۴۰,۸۸	۴۱,۲۳	Si	۱,۰۳۶	۱,۰۳۰	۱,۰۳۸	۱,۰۲۳	۰,۹۹۹
$TiO_2$	۰,۰۰	۰,۰۰	۰,۰۰	۰,۰۰	۰,۰۰	۰,۰۱	Ti	۰,۰۰	۰,۰۰	۰,۰۰	۰,۰۰	۰,۰۰
$Al_2O_3$	۰,۰۰	۰,۰۰	۰,۶۶	۰,۳۱	۱,۱۴	۲,۵۰	Al	۰,۰۰	۰,۰۰	۰,۰۱۹	۰,۰۳۴	۰,۰۷۱
$Cr_2O_3$	۰,۰۰	۰,۰۱	۰,۰۱	۰,۰۰	۰,۰۱	۰,۰۱	Cr	۰,۰۰	۰,۰۰	۰,۰۰	۰,۰۰	۰,۰۰
$FeO$	۸,۱۰	۸,۱۳	۸,۰۵	۷,۸۶	۸,۷۷	۸,۱۷	$Fe^{2+}$	۰,۱۶۷	۰,۱۶۹	۰,۱۶۸	۰,۱۸۳	۰,۱۶۶
$MnO$	۰,۱۳	۰,۱۵	۰,۱۵	۰,۱۴	۰,۱۵	۰,۱۴	Mn	۰,۰۰۳	۰,۰۰۳	۰,۰۰۳	۰,۰۰۳	۰,۰۰۳
$MgO$	۴۸,۹۱	۴۸,۵۲	۴۷,۶۰	۴۹,۶۳	۴۷,۰۹	۴۸,۷۵	Mg	۱,۷۹۴	۱,۷۹۷	۱,۷۷۱	۱,۷۵۶	۱,۷۶۱
$CaO$	۰,۰۲	۰,۰۱	۰,۰۱	۰,۰۱	۰,۰۲	۰,۰۲	Ca	۰,۰۰۱	۰,۰۰	۰,۰۰	۰,۰۰۱	۰,۰۰۱
$Na_2O$	۰,۰۰	۰,۰۰	۰,۰۰	۰,۰۰	۰,۰۰	۰,۰۰						
$K_2O$	۰,۰۰	۰,۰۱	۰,۰۰	۰,۰۰	۰,۰۴	۰,۰۱						
مجموع	۹۹,۳۹	۹۸,۴۱	۹۸,۱۷	۱۰۰,۴۲	۹۸,۲۲	۱۰۰,۹۵						



شکل ۴ موقعیت ترکیبی کانی الیوین در پریدوتیت‌های آمیزه افیولیتی راتوک [۳۴].

بررسی در گستره (Quad) پیروکسن‌های کلسیم، آهن، منیزیم واقع شده‌اند (شکل ۵ الف). با توجه به طبق نمودار سه تایی [Wo-En-Fs] (ولاستونیت - انستاتیت - فروسیلیت) [۳۵] پیروکسن‌های موجود در پریدوتیت‌های منطقه انستاتیت هستند (شکل ۵ ب).

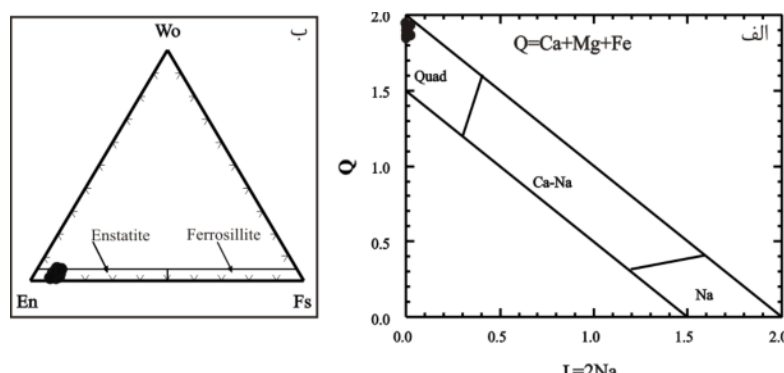
پیروکسن: براساس نتایج حاصل از تجزیه شیمیایی کانی پیروکسن (جدول ۲)، از روش موریموتو [۳۵] جهت نامگذاری این کانی استفاده شده است. در این روش ابتدا با استفاده از نمودار  $J=Q=\text{Ca}+\text{Mg}+\text{Fe}^{2+}$ ، که  $\text{Ca}+\text{Mg}+\text{Fe}^{2+}=2\text{Na}$  است همیگر متمايز شده است

جدول ۲ نتایج تجزیه ریزپردازش الکترونی کانی پیروکسن در پریدوتیت‌های مجموعه آمیزه افیولیتی راتوک.

(Wt%) Min اکسید	Px1	Px2	Px3	Px4	Px13	Px14	Px15
$\text{SiO}_2$	۵۵.۶۵	۵۶.۷۵	۵۶.۶۳	۵۶.۵۱	۵۶.۸۹	۵۶.۶۲	۵۶.۶۰
$\text{TiO}_2$	۰.۰۲	۰.۰۰	۰.۰۱	۰.۰۲	۰.۰۲	۰.۰۲	۰.۰۰
$\text{Al}_2\text{O}_3$	۲.۱۳	۲.۰۷	۲.۲۳	۲.۳۷	۳.۴۴	۲.۱۰	۲.۱۱
$\text{Cr}_2\text{O}_3$	۰.۵۸	۰.۶۰	۰.۶۹	۰.۶۱	۰.۶۳	۰.۷۰	۰.۵۶
$\text{FeO}$	۴.۵۴	۵.۱۳	۵.۲۷	۵.۴۱	۴.۹۳	۵.۲۴	۵.۴۱
$\text{MnO}$	۰.۱۸	۰.۱۳	۰.۱۴	۰.۱۴	۰.۱۲	۰.۱۴	۰.۱۳
$\text{MgO}$	۳۲.۱۳	۳۲.۱۴	۳۳.۳۴	۳۲.۲۳	۳۱.۸۹	۳۲.۸۳	۳۲.۹۴
$\text{CaO}$	۲.۸۴	۰.۷۸	۰.۷۳	۱.۸۱	۲.۵۸	۰.۸۳	۰.۵۸
$\text{K}_2\text{O}$	۰.۰۵	۰.۰۰	۰.۰۱	۰.۰۰	۰.۰۱	۰.۰۰	۰.۰۰
مجموع	۹۸.۱۴	۹۸.۶۲	۹۹.۱۸	۹۹.۱۱	۱۰۰.۵۳	۹۸.۶۲	۹۸.۳۶

تعداد کاتیون‌ها برای ۶ اکسیژن							
Si	۱.۹۶۰	۱.۹۸۶	۱.۹۷۱	۱.۹۷۵	۱.۹۶۲	۱.۹۸۵	۱.۹۸۸
Ti	۰.۰۰۱	۰.۰۰۰	۰.۰۰۰	۰.۰۰۱	۰.۰۰۱	۰.۰۰۱	۰.۰۰۰
Al	۰.۰۸۸	۰.۱۸۵	۰.۰۹۱	۰.۰۹۸	۰.۱۴۰	۰.۰۸۷	۰.۰۸۷
Cr	۰.۰۱۶	۰.۰۱۷	۰.۰۱۹	۰.۰۱۷	۰.۰۱۷	۰.۰۱۹	۰.۰۱۶
$\text{Fe}^{2+}$	۰.۱۵۶	۰.۲۲۴	۰.۲۰۹	۰.۲۲۴	۰.۲۲۳	۰.۲۳۴	۰.۲۳۸
Mn	۰.۰۰۵	۰.۰۰۴	۰.۰۰۴	۰.۰۰۴	۰.۰۰۴	۰.۰۰۴	۰.۰۰۴
Mg	۱.۶۷۸	۱.۷۲۹	۱.۷۳۰	۱.۶۸۰	۱.۶۳۹	۱.۷۱۶	۱.۷۲۵
Ca	۰.۱۰۷	۰.۰۲۹	۰.۰۲۷	۰.۰۶۸	۰.۰۹۵	۰.۰۳۱	۰.۰۲۲
K	۰.۰۰۲	۰.۰۰۰	۰.۰۰۰	۰.۰۰۰	۰.۰۰۰	۰.۰۰۰	۰.۰۰۰
$\text{Mg}(\text{Mg}+\text{Fe}^{2+})$	۰.۹۱۵	۰.۸۸۵	۰.۸۹۲	۰.۸۸۲	۰.۸۸۰	۰.۸۸۰	۰.۸۷۹
$\text{Fe}^{2+}/(\text{Fe}_{\text{tot}})$	۱.۱۷۰	۱.۴۹۲	۱.۳۳۸	۱.۴۱۹	۱.۵۷۰	۱.۴۹۷	۱.۴۹۵
$\text{Al}/(\text{Al}+\text{Fe}^{3+}+\text{Cr})$	۱.۰۸۱	۳.۰۳۵	۱.۵۸۸	۲.۰۲۴	۱.۸۴۱	۳.۰۶۰	۳.۵۹۸
En	۰.۸۶۵	۰.۸۷۲	۰.۸۸۰	۰.۸۵۲	۰.۸۳۷	۰.۸۶۶	۰.۸۶۹
Fs	۰.۰۸۰	۰.۱۱۳	۰.۱۰۶	۰.۱۱۴	۰.۱۱۴	۰.۱۱۸	۰.۱۲۰
Wo	۰.۰۵۵	۰.۰۱۵	۰.۰۱۶	۰.۰۳۶	۰.۰۴۹	۰.۰۱۶	۰.۰۱۱



شکل ۵ موقعیت پیروکسن‌ها در پریدوتیت‌های آمیزه افیولیتی راتوک بر روی نمودارهای الف ردبندی و ب نامگذاری [۳۵].

های ماگمایی همزمان با الیوین صورت می‌گیرد و ویژگی مهم ترکیبی آن ضریب توزیع پذیری بالای عناصری چون  $Mg$ ,  $Fe$ ,  $Al$  بین ماگما و اسپینل است [۳۶] محیط تبلور می‌تواند نشانگر مفیدی برای ترکیب مایع اولیه باشد [۳۲]. بر این اساس در نمودار ایروین [۳۷] اسپینل‌ها بیشتر آلومینیوم-کرومدار و بندرت آهن‌دار هستند (شکل ۶ الف). در نمودار  $Cr^{\#}$  بر حسب High-Al [۳۸]، نمونه‌های مورد بررسی در گستره  $Mg^{\#}$  اسپینل قرار می‌گیرند (شکل ۶ ب).

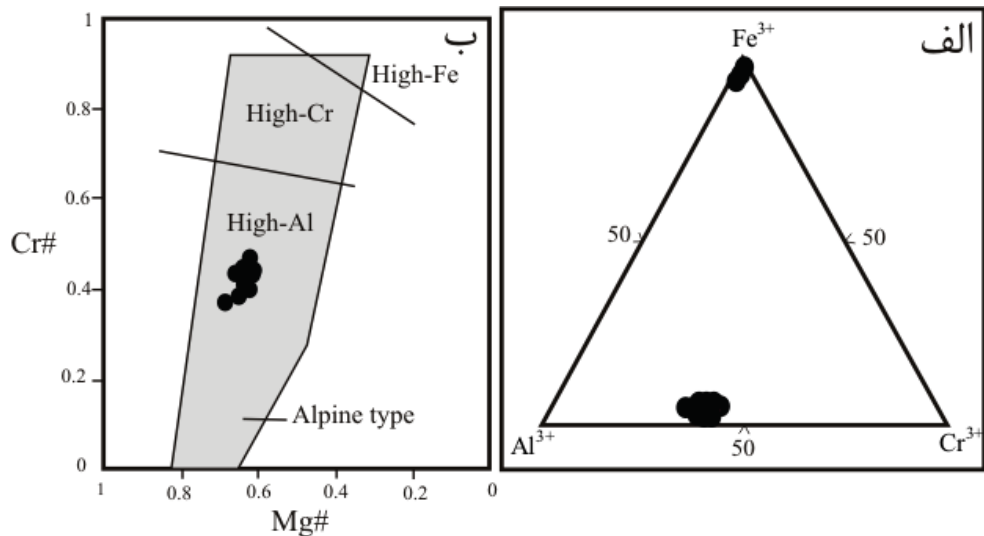
اسپینل: ترکیب اسپینل نمونه‌های مورد بررسی (جدول ۳) براساس اعضای نهایی اسپینل به صورت  $Spl_{0.003-0.691}$   $Chr_{0-0.443}$   $Mag_{0.028-0.997}$   $Mg^{\#}$  بوده و عدد آنها در حدود  $0.369 - 0.460$  و عدد  $Cr^{\#}$   $0.011 - 0.091$  است. مقادیر اسپینل‌ها بین  $0.09$  تا  $0.56$  درصد و  $Cr_2O_3$  آنها از  $0.318$  تا  $0.368$  درصد در تغییر است. محیط تبلور، مهمترین عامل موثر بر ترکیب اسپینل‌های کرومدار است که ترکیب این کانی می‌تواند در اثر دگرسانی و دگرگونی دچار تغییرات جزئی شود [۱۳]. با توجه به اینکه تبلور اسپینل کرومدار در محیط-

جدول ۳ نتایج تجزیه ریزپردازش الکترونی کانی اسپینل در پریدوتیت‌های مجموعه افیولیتی راتوک.

(Wt%) Min	Sp20	Sp21	Sp22	Sp23	Sp24	sp25	sp26
$SiO_2$	۰.۰۷	۰.۱۲	۰.۰۰	۰.۴۳	۰.۱۲	۰.۰۰	۰.۰۰
$TiO_2$	۰.۰۴	۰.۰۱	۰.۰۷	۰.۰۴	۰.۰۵	۰.۰۴	۰.۰۳
$Al_2O_3$	۳۱.۶۷	۳۶.۰۵	۳۲.۵۱	۳۰.۸۵	۳۱.۴۸	۲۸.۹۰	۳۰.۸۹
$Cr_2O_3$	۳۴.۶۶	۳۱.۴۳	۳۱.۳۸	۳۴.۷۷	۳۴.۲۲	۳۶.۸۱	۳۴.۵۲
$FeO$	۱۷.۸۱	۱۷.۰۶	۱۷.۴۶	۱۷.۷۸	۱۸.۲۱	۱۷.۸۰	۱۷.۵۷
$MnO$	۰.۰۰	۰.۰۰	۰.۰۰	۰.۰۰	۰.۰۰	۰.۰۰	۰.۰۰
$MgO$	۱۳.۸۸	۱۶.۳۸	۱۴.۵۶	۱۳.۷۳	۱۴.۲۶	۱۳.۶۷	۱۴.۸۲
$CaO$	۰.۰۹	۰.۰۰	۰.۰۰	۰.۰۱	۰.۰۲	۰.۰۱	۰.۰۱
مجموع	۹۸.۲۶	۱۰۱.۳۲	۹۷.۲۵	۹۷.۸۲	۹۸.۵۹	۹۷.۴۵	۹۸.۰۹
تعداد کاتیون‌ها برایه ۴ اکسیژن							
Ti	۰.۰۰۱	۰.۰۰۰	۰.۰۰۲	۰.۰۰۱	۰.۰۰۱	۰.۰۰۱	۰.۰۰۱
Al	۱.۱۱۶	۱.۲۰۲	۱.۱۷۷	۱.۰۹۹	۱.۱۰۶	۱.۰۳۸	۱.۰۸۷
Cr	۰.۸۱۹	۰.۷۰۳	۰.۷۳۹	۰.۸۳۱	۰.۸۰۶	۰.۸۸۷	۰.۸۱۵
$Fe^{3+}$	۰.۰۶۳	۰.۰۹۴	۰.۰۸۰	۰.۰۶۸	۰.۰۸۶	۰.۰۷۴	۰.۰۹۷
$Fe^{2+}$	۰.۳۸۲	۰.۳۰۹	۰.۳۵۵	۰.۳۸۲	۰.۳۶۸	۰.۳۸۰	۰.۳۴۱
Mn	۰.۰۰۰	۰.۰۰۰	۰.۰۰۰	۰.۰۰۰	۰.۰۰۰	۰.۰۰۰	۰.۰۰۰
Mg	۰.۶۱۹	۰.۶۹۱	۰.۶۴۷	۰.۶۱۹	۰.۶۳۳	۰.۶۲۱	۰.۶۵۹
$Mg/(Mg + Fe^{2+})$	۰.۶۱۸	۰.۶۹۱	۰.۶۴۶	۰.۶۱۸	۰.۶۳۳	۰.۶۲۰	۰.۶۵۹
$Cr/(Cr + Al)$	۰.۴۲۳	۰.۳۶۹	۰.۳۸۵	۰.۴۳۰	۰.۴۲۱	۰.۴۶۰	۰.۴۲۸
$Fe^{2+}/(Fe^{2+} + Fe^{3+})$	۰.۸۵۸	۰.۷۶۶	۰.۸۱۵	۰.۸۵۰	۰.۸۱۰	۰.۸۳۸	۰.۷۷۸
$Al/(Al + Fe^{3+} + Cr)$	۰.۵۵۸	۰.۶۰۱	۰.۵۸۹	۰.۵۵۰	۰.۵۵۳	۰.۵۱۹	۰.۵۴۴
اسپینل	۰.۶۱۹	۰.۶۹۱	۰.۶۴۷	۰.۶۱۹	۰.۶۳۳	۰.۶۲۱	۰.۶۵۹
هرسینیت	-۰.۱۰۶۱	-۰.۰۹۰	-۰.۰۵۸	-۰.۰۶۹	-۰.۰۸۱	-۰.۱۰۲	-۰.۱۱۶
گلاکست	۰.۰۰۰	۰.۰۰۰	۰.۰۰۰	۰.۰۰۰	۰.۰۰۰	۰.۰۰۰	۰.۰۰۰
تریوریت	۰.۰۰۰	۰.۰۰۰	۰.۰۰۰	۰.۰۰۰	۰.۰۰۰	۰.۰۰۰	۰.۰۰۰
مگنتیت	۰.۰۳۲	۰.۰۴۷	۰.۰۴۰	۰.۰۳۴	۰.۰۴۳	۰.۰۳۷	۰.۰۴۹
کرومیت	۰.۴۱۰	۰.۳۵۲	۰.۳۷۰	۰.۴۱۶	۰.۴۰۳	۰.۴۴۳	۰.۴۰۷
اولواسپینل	۰.۰۰۱	۰.۰۰۰	۰.۰۰۲	۰.۰۰۱	۰.۰۰۱	۰.۰۰۱	۰.۰۰۱

## ادامه جدول ۳

(Wt%)Min اکسید	sp27	sp28	sp29		sp27	sp28	sp29
SiO <sub>2</sub>	۱,۰۴	۰,۰۰	۰,۰۰	تعداد کاتیون‌ها برایه ۴ اکسیژن			
TiO <sub>2</sub>	۰,۰۰	۰,۰۰	۰,۰۳	Mn	۰,۰۰۰	۰,۰۰۰	۰,۰۰۰
Al <sub>2</sub> O <sub>3</sub>	۳۰,۶۰	۳۲,۹۵	۳۰,۹۹	Mg	۰,۶۴۳	۰,۶۳۰	۰,۶۱۶
Cr <sub>2</sub> O <sub>3</sub>	۳۵,۷۶	۳۳,۸۱	۳۵,۷۹	Mg(Mg+Fe <sup>2+</sup> )	۰,۶۴۳	۰,۶۳۰	۰,۶۱۵
FeO	۱۷,۱۴	۱۷,۱۶	۱۷,۵۸	Cr(Cr+Al)	۰,۴۳۹	۰,۴۰۷	۰,۴۳۶
MnO	۰,۰۰	۰,۰۰	۰,۰۰	Fe <sup>2+</sup> (Fe <sup>2+</sup> +Fe <sup>3+</sup> )	۰,۸۳۰	۰,۸۶۹	۰,۸۷۴
MgO	۱۴,۴۱	۱۴,۲۶	۱۳,۷۸	Al(Al+Fe <sup>3+</sup> +Cr)	۰,۵۴۰	۰,۵۷۶	۰,۵۴۸
CaO	۰,۰۱	۰,۰۱	۰,۰۰	اسپینل	۰,۶۴۳	۰,۶۳۰	۰,۶۱۶
Total	۹۹,۲۱	۹۸,۳۹	۹۸,۳۹	هرسینیت	-۰,۱۰۳	-۰,۰۵۵	-۰,۰۶۸
تعداد کاتیون‌ها برایه ۴ اکسیژن				گلاکسبیت	۰,۰۰۰	۰,۰۰۰	۰,۰۰۰
Ti	۰,۰۰۰	۰,۰۰۰	۰,۰۰۱	تریوریت	۰,۰۰۰	۰,۰۰۰	۰,۰۰۰
Al	۱,۰۸۰	۱,۱۵۱	۱,۰۹۵	مگنتیت	۰,۰۳۶	۰,۰۲۸	۰,۰۲۸
Cr	۰,۸۴۷	۰,۷۹۳	۰,۸۴۸	کرومیت	۰,۴۲۳	۰,۳۹۶	۰,۴۲۴
Fe <sup>3+</sup>	۰,۰۷۳	۰,۰۵۶	۰,۰۵۶	اولواسپینل	۰,۰۰۰	۰,۰۰۰	۰,۰۰۱
Fe <sup>2+</sup>	۰,۳۵۷	۰,۳۷۰	۰,۳۸۵				



شکل ۶ موقعیت اسپینل‌های موجود در پریدوتیت‌های مورد بررسی. الف: [۳۷]. ب: [۳۸].

شده است، بر این اساس درجه ذوب‌بخشی این سنگ‌ها بیش از ۲۰ درصد بوده است (شکل ۷ الف). این نمونه‌ها براساس عدد کروم Cr<sup>#</sup> در اسپینل‌ها [۴۱]، نیز در گستره پریدوتیت‌های عمیق قرار می‌گیرند (شکل ۷ ب). عناصر Al، Cr و Ti در کروم اسپینل، تحت تاثیر تعادل دوباره فرآیندهای تبلور نهایی ماقماً قرار نمی‌گیرند [۴۲]، زیرا تیتان و کروم در سیلیکات‌ها فراوانی چندانی نداشته و آلمینیوم سرعت انتشار پایینی دارد و مقدار آن به خاستگاه اولیه وابسته است، مقدار Ti با توجه به موقعیت زمین‌ساختی خاستگاه تغییر می‌کند، این امر وابستگی

تعیین خاستگاه پریدوتیت با کمک داده‌های شیمی کانی کانی فرعی اسپینل در پریدوتیت‌ها، نسبت به کانی‌های دیگر دمای بالا، در برابر تجزیه‌شدگی مقاوم است [۳۷]. بنابراین ترکیب شیمیایی و عدد کروم در اسپینل‌ها به عنوان مشخصه‌ای در تعیین خاستگاه پریدوتیت‌ها کاربرد دارد [۱۳]. براساس مقادیر Cr<sup>#</sup> نسبت به Mg<sup>#</sup> در اسپینل پریدوتیت‌ها [۱۳، ۳۹] نمونه‌ها در گستره پریدوتیت‌های عمیق قرار می‌گیرند، در این نمودار درجه ذوب‌بخشی بدست آمده از اسپینل براساس محاسبات هیروس و کاوموتو [۴۰] به صورت پیکانی مشخص

موجود در پریدوتیت‌های گوشه [۴۹]، همه پریدوتیت‌ها در گستره محیط اقیانوسی قرار گرفته‌اند (شکل ۷ ج).

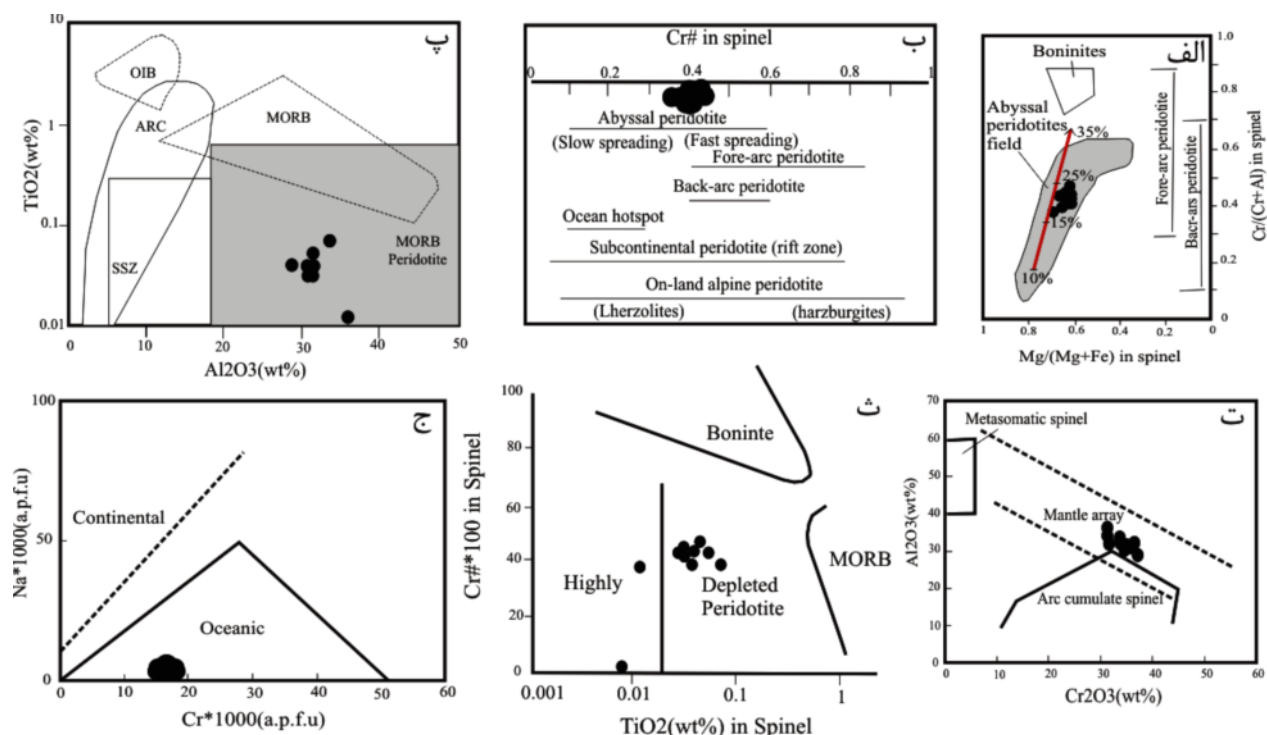
### دماسنجه

در پریدوتیت‌های توان از دماسنجه‌ای ارتوبیروکسن و الیوین-اسپینل برای تعیین دما استفاده کرد. محاسبه دمای تبلور ارتوبیروکسن با استفاده از روش کالیبره کردن بری و کوهله [۵۰] از رابطه زیر بدست می‌آید:

$$T \text{ Ca}_{\text{opx}}(K) = 6425 + 26.4 P / (-\ln \text{Ca}_{\text{opx}} + 1.843)$$

در این رابطه دما بر حسب کلوین و فشار بر حسب کیلوبار است. با توجه به نتایج بدست آمده، دمای تبلور این کانی در پریدوتیت‌های منطقه مورد بررسی، در فشار ۱ تا ۱۰ کیلوبار بین ۹۵۰ تا ۱۳۰۰ °C است. همچنین دمای بدست آمده توسط نرمافزار PT MAFIC [۵۱] در ارتوبیروکسن‌های مورد بررسی، گستره دمایی بین ۹۷۰ تا ۱۳۵۰ °C را به دست می‌دهد [۵۰].

Ti را به عمق سنگ‌های فرامافیک نشان می‌دهد [۴۴، ۴۳]. از این رو نمودار  $\text{TiO}_2$  بر حسب  $\text{Al}_2\text{O}_3$  برای مشخص کردن نوع افیولیت مفید است، که نمونه‌های مورد بررسی ماهیت MORB را نشان می‌دهند (شکل ۷ ب) از طرفی بالا بودن مقدار Al و پایین بودن Ti در اسپینل‌ها از مشخصه‌های اسپینل‌های مورب است [۴۲]. در نمودار مقدار  $\text{Al}_2\text{O}_3$  بر حسب  $\text{Cr}_2\text{O}_3$  مربوط به اسپینل موجود در پریدوتیت‌ها [۴۷-۴۵]، پریدوتیت‌ها در گستره گوشه‌ای قرار می‌گیرند (شکل ۷ ت). عدد کروم اسپینل در پریدوتیت‌ها معیاری مناسب برای تعیین درجه تهی‌شدگی یک منبع گوشه‌ای است و  $\text{Cr}^{\#}$  در پریدوتیت‌های عمیق، شاخص خوبی از درجه ذوب بخشی اسپینل پریدوتیت‌های مشتق شده از گوشه است. افزایش مقدار  $\text{Cr}^{\#}$  اسپینل در پریدوتیت‌ها نشان‌دهنده افزایش درجه ذوببخشی است [۴۸، ۱۳]. نمودار  $\text{Cr}^{\#}$  بر حسب  $\text{TiO}_2$  [۴۷] نشان‌دهنده تهی‌شدگی این سنگ‌ها است (شکل ۷ ث). با استفاده از مقدار Cr و Na واحد ساختاری پیروکسن‌های واسطه از گستره گوشه‌ای قرار گیرند.



شکل ۷ الف: موقعیت اسپینل‌های پریدوتیت‌ها در نمودار  $\text{Cr}^{\#}$  نسبت به  $\text{Mg}^{\#}$  [۳۹، ۱۳]. ب: موقعیت اسپینل‌های پریدوتیت‌ها در نمودار  $\text{Cr}^{\#}$  نسبت به  $\text{Mg}/(\text{Mg}+\text{Fe})$  [۴۲]. ت: خاستگاه گوشه‌ای اسپینل‌های پریدوتیت‌ها در نمودار [۴۷-۴۵]. ث: خاستگاه تهی‌شدگی اسپینل‌های پریدوتیت‌ها در نمودار [۴۷]. ج: قرار گیری پریدوتیت‌ها در گستره اقیانوسی در نمودار [۴۹].

مجموعه مورد بررسی در نمودارهای مجموع قلیاها  $\text{Na}_2\text{O} + \text{K}_2\text{O}$  نسبت به سیلیس ( $\text{SiO}_2$ ) [۵۲] و نمودار  $\text{K}_2\text{O}$  نسبت به  $\text{SiO}_2$  [۵۳] در مجموعه ماغماهی نیمه‌قلیایی، تولئیتی قرار می‌گیرند (شکل ۸، الف، ب).

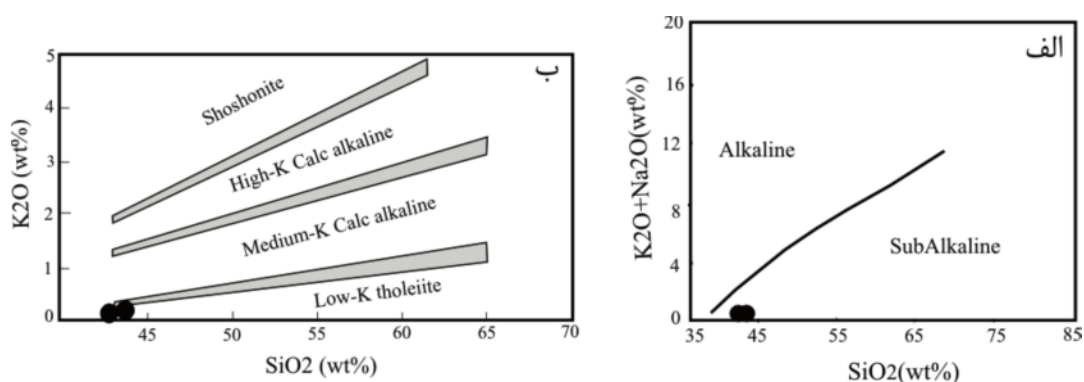
**ژئوشیمی**  
مختصات جغرافیایی و نتایج تجزیه‌ی شیمیایی عناصر اصلی و کمیاب نمونه‌های سنگ کل پریدوتیت‌های منطقه مورد بررسی در جدول‌های ۴ و ۵ نشان داده شده‌اند. واحدهای فرامافیک

جدول ۴ نتایج تجزیه شیمیایی عناصر اصلی واحدهای گابرو و پریدوتیت در مجموعه آمیزه افیولیتی راتوک (بر حسب درصد وزنی).

نام نمونه	UB13	UB16	نام نمونه	UB13	UB16
نوع سنگ	لرزولیت	هارزبوزیت	نوع سنگ	لرزولیت	هارزبوزیت
موقعیت جغرافیایی	X	۶۰° ۱۵'	موقعیت جغرافیایی	X	۶۰° ۱۵'
	Y	۳۲° ۳۶'		Y	۳۲° ۳۶'
$\text{SiO}_2$	۴۴	۴۳,۲۷	$\text{Na}_2\text{O}$	۰,۰۱	<۰,۰۱
$\text{TiO}_2$	۰,۰۲	<۰,۰۱	$\text{K}_2\text{O}$	<۰,۰۱	<۰,۰۱
$\text{Al}_2\text{O}_3$	۱,۳۴	۰,۷۰	$\text{P}_2\text{O}_5$	۰,۰۱	<۰,۰۱
$\text{Fe}_2\text{O}_3$	۸,۰۱	۸,۱۷	$\text{Cr}_2\text{O}_3$	۰,۳۸۵	۰,۴۱۳
$\text{MnO}$	۰,۱۱	۰,۱۱	L.O.I	۸,۹	۷,۴
$\text{MgO}$	۳۵,۰۴	۳۸,۰۰	مجموع	۹۹,۴۱	۹۹,۳۵
$\text{CaO}$	۱,۳۵	۱,۰۲			

جدول ۵ نتایج تجزیه شیمیایی عناصر های گابرو و پریدوتیت در مجموعه آمیزه افیولیتی راتوک (بر حسب PPm).

نام نمونه	UB13	UB16	نام نمونه	UB13	UB16	نام نمونه	UB13	UB16
Ba	۳	<۱	Zr	۰,۷	۰,۳	Sm	۰,۰۷	<۰,۰۵
Rb	۰,۵	۰,۴	Nb	۰,۲	<۰,۱	Eu	<۰,۰۲	<۰,۰۲
Ta	<۰,۱	<۰,۱	Th	<۰,۲	<۰,۲	Gd	<۰,۰۵	<۰,۰۵
Sr	۱۰,۰	۰,۷	Ga	۱,۸	۱,۳	Tb	۰,۰۲	<۰,۰۱
Y	۰,۴	۰,۴	Ni	۱۹۷۹	۲۰۹۹	Dy	۰,۱۲	<۰,۰۵
U	<۰,۱	<۰,۱	V	۵۳	۴۲	Ho	۰,۰۲	۰,۰۲
La	۰,۸	۰,۵	Hf	<۰,۱	<۰,۱	Er	۰,۰۷	۰,۰۵
Ce	۰,۵	۰,۲	Cs	۰,۲	<۰,۱	Tm	۰,۰۲	<۰,۰۱
Pr	۰,۰۲	<۰,۰۲	Nd	<۰,۳	<۰,۳	Yb	۰,۱۴	۰,۰۸



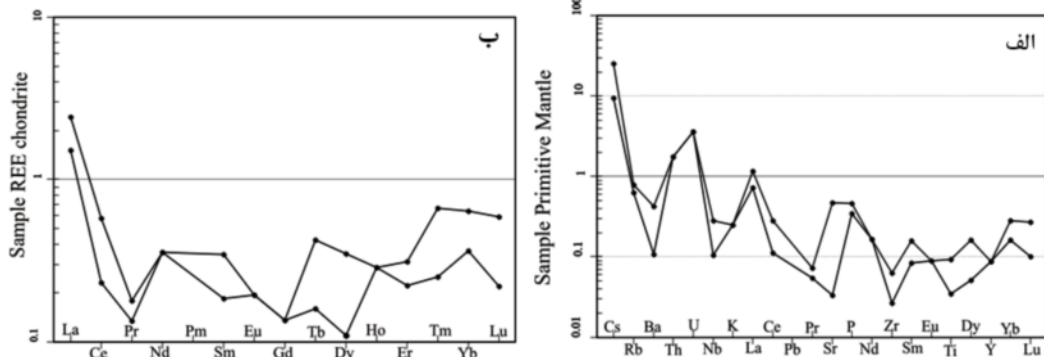
شکل ۸ ردیبندی واحدهای پریدوتیت و گابروی مجموعه آمیزه افیولیتی راتوک. الف: نمودار تعیین مجموعه ماغماهی [۵۲]. ب: ماهیت تولئیتی نمونه‌ها در نمودار [۵۳].

نسبت به سایر عناصر خاکی نادر غنی‌شدگی نشان می‌دهند. بطورکلی تهی شدگی عناصری مانند Rb, Ba, Nb, Zr, Ti در نمودارها را می‌توان به ناسازگاری این عناصر در گوشه مربوط دانست [۲۷]. از آنجا که عناصر LREE در گوشه نسبت به HREE بسیار ناسازگارتر هستند، بر اثر ذوب‌بخشی مقدار LREE در بازمانده‌های ذوب (پریدوتیت‌ها) تهی می‌شود این پدیده شبیث مثبت در الگوی REE‌های بازمانده ایجاد می‌نماید [۵۷]، اما در واحدهای پریدوتیتی منطقه راتوک، این الگوها دارای شبیث منفی و U شکل هستند. شبیث منفی این الگوها تحت تاثیر فرآیندهای ثانویه مانند دگرسانی، دگرنهادی یا تله گدازه و U شکل بودن آنها می‌تواند معرف ویژگی گوشه‌های آنها باشد [۲۲، ۵۸].

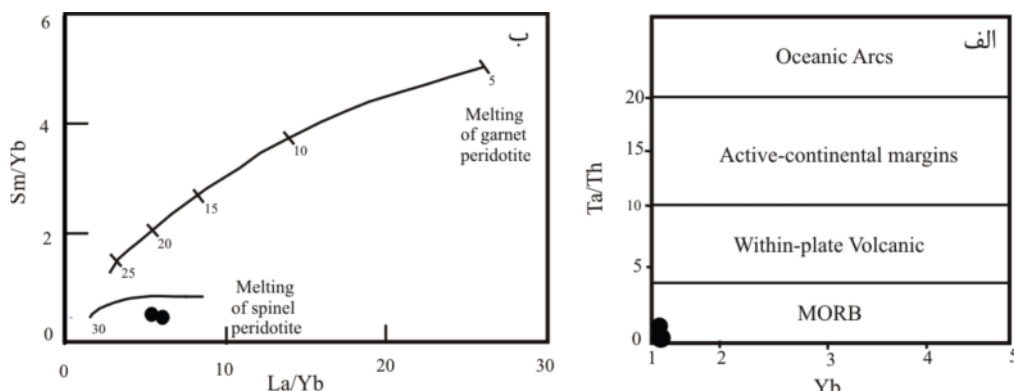
براساس نمودار فراوانی Th/Ta نسبت به Yb [۵۹] نمونه‌های پریدوتیتی متعلق به مجموعه افیولیتی نوع مورب (شکل ۱۰ الف) و با توجه به مقدار Sm/Yb نسبت به La/Yb [۶۰] از خاستگاه گوشه اسپینل لرزولیتی با درجه ذوب‌بخشی حدود ۲۰ تا ۳۰ درصد حاصل شده‌اند (شکل ۱۰ ب).

### بحث و بررسی

بر اساس شواهد سنگنگاری و مقدار L.O.I بالا (۷/۴-۸/۹ درصد) مشخص می‌شود که نمونه‌های پریدوتیتی مورد بررسی به طور متوسط دچار دگرسانی شده‌اند. هنگام دگرسانی برخی از عناصر از جمله عناصر درشت یون لیتوفیل (LILEs) توسط محلول‌های گرمابی جابه‌جا شده و انتقال می‌یابند در حالی که برخی دیگر از جمله عناصر با میدان مقاومت بالا (HFSEs) تاحدی از این امر متاثر می‌شوند [۵۴]. ترکیب شیمیایی نمونه‌های لرزولیتی و هارزبورزیتی نشان می‌دهد که لرزولیت نسبت به هارزبورزیت دارای مقدار بالاتری از  $\text{Al}_2\text{O}_3$ ,  $\text{CaO}$  و بیشتر عناصر کمیاب است (جدول ۴) که ناشی از حضور کلینیپیروکسن و اسپینل‌های آلومینیومی در لرزولیت است. طبق الگوی عناصر کمیاب نمونه‌های پریدوتیتی بهنجار شده نسبت به گوشه اولیه [۵۵]، عناصر Cs, Th, La, P, K, Sr, Rb, Ba, Nb, Ce, Zr, Ti ناهنجاری مثبت و عناصر Sr, Rb, Ba, Nb, Ce, Zr, Ti ناهنجاری منفی نشان می‌دهند (شکل ۹ الف). همچنین پریدوتیت‌های منطقه براساس الگوی عناصر کمیاب نسبت به REE کندریت [۵۶] بهنجارشده (شکل ۹ ب) که La و Ce



شکل ۹ الف: الگوی عناصر کمیاب بهنجارشده با گوشه اولیه [۵۵]. ب: الگوی عنکبوتی عناصر خاکی نادر بهنجار شده نسبت به کندریت [۵۶]. نمونه‌های پریدوتیت آمیزه افیولیتی راتوک.



شکل ۱۰ الف: ماهیت مورب نمونه‌های پریدوتیت آمیزه افیولیتی ملانژ راتوک [۵۹]. ب: تعیین درجه ذوب‌بخشی و خاستگاه پریدوتیت‌های آمیزه افیولیتی راتوک [۶۰].

- [7] Brocker M., Fotoohi Rad Gh. R., Thunissen S., "New time constraints for HP metamorphism and exhumation of mélange rocks from the Sistan suture zone, eastern Iran", An abstract paper in Turkey Symposium: Tectonic Crossroads:Evolving Orogenes of Eurasia – Africa – Arabia (2011).
- [8] Tirrul R., Bell L. R., Griffist R. J., Camp V. E., "The Sistan suture zone of eastern Iran", G.S.A.Bulletin 84 (1983) 134-140.
- [9] Brocker M., Fotoohi Rad Gh. R., Burgess R., Theunissen S., Paderin I., Rodionov N., Salimi Z., "New age constraints for the geodynamic evolution of the Sistan Suture Zone, eastern Iran", Lithos 170–171 (2013) 17–349.
- [10] Angiboust S., Agard P., De Hoog J. C.M., Omrani J., Plunder A., "Insights on deep, accretionary subduction processes from the Sistan ophiolitic "melange" (Eastern Iran)", Lithos 156–159 (2013) 139–158.
- [11] خواجه احمدی، ز.، "پترولوزی واحدهای گدازه ای بخش شرقی آمیزه افیولیتی جنوب بیرجند"، پایان نامه کارشناسی ارشد، دانشگاه بیرجند، (۱۳۹۴)، ص ۱-۱۰۱.
- [12] Guillou Y., Maurizot P., Vaslet D., Dellavillen H., "Geological map of Gazik, Scale 1:100000". Geological Survey of Iran (1981).
- [13] Dick H. J. B., Bullen T., "Chromian spinel as a petrogenetic indicator in abyssal and dalpinetypic peridotites and spatially associated lavas", Contribution to Mineralogy and Petrology 86 (1984) 54 -76.
- [14] O'hara Y., Stern R. J., Ishii T., Yurimoto H., Yamazaki T., "Peridotites from the Mariana Trough: first look at the mantle beneath an active back-arc basin", Contributions to Mineralogy and Petrology 143 (2002) 1- 18.
- [15] Boudier F., Baronnet A., Mainprice D., "Serpentine Mineral Replacements of Natural Olivine and their Seismic Implications: Oceanic Lizardite versus Subduction-Related Antigorite", Journal of Petrology (2009) Doi:10.1093/petrology/egp.
- [16] Tsikouras B., Karipi S., Grammatikopoulos T. A., Hatzipanagiotou. K., "Listwaenite evolution in the ophiolite melange of Iti Mountain (Continental Central Greece)", European Journal of Mineralogy (2006) 243-255.
- [17] Aftabi A., Zarrinkoub M. H., "Petrogeochemistry of listvenite association in metaophiolites of Sahlabad region, eastern Iran:

### برداشت

مجموعه آمیزه افیولیتی راتوک از واحدهای سنگی پریدوتیت (که در بخش‌هایی سرپانتینی و لیستونیتی شده)، گابرو، دیاباز و واحدهای گدازه‌ای (اسپیلیت) تشکیل شده که با مروزهای گسلی در نزدیکی هم قرار گرفته‌اند. پریدوتیت‌های این مجموعه بیشتر هارزبوزیت - لرزولیتی هستند. با توجه به توالی تبلور کانی‌ها در پریدوتیت مورد بررسی (تبلور پلاژیوکلاز پیش از پیروکسن) و مشخصه‌های زمین‌شیمی از جمله مقدار فراوانی Th/Ta نسبت به Yb، وابستگی آنها به مگماهی تولیتی نوع مورب محرز می‌شود. این پریدوتیت‌ها از یک خاستگاه گوشته تهی شده اسپینل لرزولیتی با درجه ذوب بخشی حدود ۲۰ تا ۳۰ درصد حاصل شده‌اند.

### مراجع

- [1] Dilek Y., Moores E., Elthon D., Nicolas A., "Ophiolites and oceanic crust: New insights from field studies and the ocean drilling program", Geological Society of America Special Paper (2000) 349-552.
- [2] Dilek Y., Furnes H., "Ophiolite genesis and global tectonics: Geochemical and tectonic fingerprinting of ancient oceanic lithosphere", Geological Society of America Bulletin, 123 (2011) 387-411.
- [3] Juteau T., "The ophiolites of Khoy (NW Iran): their significance in the Tethyan ophiolite belts of the Middle-East", Comptes Rendus Geoscience 336 (2004) 105–108.
- [4] Rampone E., Piccardo G. B., Hofmann A. W., "Multi - stage melt - rock interaction in the Mt. Maggiore (Corsica, France) ophiolitic peridotites: microstructural and geochemical evidence". Contribution to Mineralogy and Petrology 156 (2008) 453-475.
- [5] Zarrinkoub M. H., Pang K. N., Chung S. L., Khatib M. M., Mohammadi S. S., Chiu H. Y., Lee H. Y., "Zircon U-Pb and geochemical constraints on the origin of the Birjand ophiolite Sistan suture zone, eastern Iran", Lithos 154 (2012) 392-405.
- [6] Babazadeh S.A., Robaszynski F., Denis Courme M., "New biostratigraphic data from Cretaceous planktic foraminifera in Sahlabad province, eastern Iran", Geobios 40 (2007) 445–454.

- [29] Yamasaki T., Maeda J., Mizuta T., "Geochemical evidence in clinopyroxenes from gabbroic sequence for two distinct magmatism in the Oman ophiolite", *Earth and Planetary Science Letters* 251 (2006) 52-65.
- [30] Clénet H., Ceuleneer G., Pinet P., Abily B., Daydou Y., Harris E., Amri I., Dantas C., "Thick sections of layered ultramafic cumulates in the Oman ophiolite revealed by an airborne hyperspectral survey: Petrogenesis and relationship to mantle diapirism", *Lithos* 114 (2010) 265-281.
- [31] Zhou M. F., Lightfoot P. C., Keays R. R., Moore M. L., Morrison G. G., "Petrogenetic significance of chromian spinels from the Sudbury igneous complex, Ontario, Canada", *Canadian Journal of Earth Sciences* 34 (1997) 1405-1419.
- [۳۲] [۳۲] نظری غ.ح، ترابی ق، خلیلی م، "بررسی شیمی کانی‌های پریدوتیت‌های گوشته افیولیت لوگر (جنوب غرب کابل-افغانستان)"، مجله پترولوزی، شماره ۵ (۱۳۹۰) ص ۴۸-۱۹.
- [۳۳] [۳۳] یزدانی م، جهانگیری ا، موذن م، حاجی علی اوغلی ر، آهنگری م، "بررسی شیمی اسپینل و الیوین و تعیین محیط زمین شاختی پریدوتیت‌های افیولیت شمال غرب پیراشهر، شمال غرب ایران"، مجله بلورشناسی و کانی‌شناسی ایران، شماره ۴ (۱۳۹۳) ص ۵۷۰-۵۵۷.
- [34] Wager L. R., Deer W. A., "Geological investigations in East Greenland, Part III. The petrology of the Skaergaard intrusion, Kangerrdlugssuaq, East Greenland, Meddelelser om Grønland 105 (1939) 1-352.
- [35] Morimoto N., "Nomenclature of pyroxenes", *Mineralogical Magazine* 52 (1988) 535-550.
- [36] Maurel C., Maurel P., "Étude expérimentale de la distribution de l'aluminium entre bain silicate basique et spinelle chromifère. Implications pétrogénétiques: teneur en chrome des spineless", *Bulletin de Minéralogie* 105 (1982) 197-202.
- [37] Irvine T. N., "Chromian spinel as a petrogenetic indicator, part n. Petrologic applications", *Canadian Journal of Earth Sciences* 4 (1967) 71-103.
- [38] Zhou M. F., Bai W. J., "Chromite deposits in China and their origin", *Mineralium Deposita* 27 (1992) 192-199.
- [39] Barnes S. J., Roeder P. L., "The range of spinel composition in terrestrial mafic and implications for possible epigenetic Cu-Au ore exploration in metaophiolites", *Lithos* 156-159 (2013) 186-203.
- [۱۸] واحدی طبس ز، "پترولوزی سنگ‌های بازالتی منطقه راتوک، جنوب گزیک شرق استان خراسان جنوبی"، پایان نامه کارشناسی ارشد، دانشگاه بیرجند (۱۳۹۳) ۱۵۱ صفحه.
- [۱۹] [۱۹] رجبی ث، ترابی ق، "بررسی پریدوتیت‌های گوشته ملانژ افیولیتی سورک (استان یزد، ایران)", مجله پترولوزی، شماره ۱۲ (۱۳۹۱) ص ۶۸-۵۱.
- [20] Shelley D., "Igneous and metamorphic rocks under the microscope", Cambridge, Great Britain (1993) 455p.
- [21] Kamenetsky V. S., Elburg M., Arculus R., Thomas R., "Magmatic origin of low-Ca olivine in subduction-related magmas: Co-existence of contrasting magmas", *Chemical Geology* 233 (2006) 346-357.
- [۲۲] [۲۲] خلیلی، خ، پهلوانی نژاد، ر، "مطالعه پریدوتیت‌های تکتونیکی افیولیت خویی"، مجله پترولوزی، شماره ۲ (۱۳۸۹) ص ۴۲-۳۱.
- [23] McLaren A. C., Etheridge M.A., "A transmission electron microscope study of naturally deformed orthopyroxene I Slip mechanisms", *Contributions to Mineralogy and Petrology*, 57 (1976) 163-177.
- [24] Nasir S., Al Sayigh A. R., Al Harthy A., Al-Khirbush S., Al-Jaaid O., Musllam A., Al Mishwat A., Al-Bu Saidi S., "Mineralogical and Geological characterization of listwaenite from the Semail ophiolite, Oman", *Chemie der Erde Geochemistry* 67 (2007) 213-228.
- [25] Vernon A. H., "A Practical Guide to Rock Microstructure", Cambridge University Press (2004) 579p.
- [26] Hebert R., Laurent R., "Mineral chemistry of the plutonic section of the Troodos Ophiolite: New constraints for genesis of arc-related ophiolites, in Ophiolites", Oceanic Crustal Analogues: Proceedings of the Symposium Troodos 1987, Geology Survey Department (1990) 149-163.
- [27] Juteau T., Maury R., "The oceanic crust, from accretion to mantle recycling, Springer-Praxis", Chichester UK (1999) 390 p.
- [28] Whitney D., Evans B., "Abbreviations for names of rock-forming minerals", *American Mineralogist*, 95 (2010) 185-187.

- existing thermobarometers", Journal Petrol* 31 (1990) 1353–1378.
- [51] Soto J. I., Soto V. M., "PTMAFIC: software package for thermometry, barometry and activity calculations in mafic rocks using an IBM-compatible computer", *Computers and Geosciences* 21 ( 1995) 619-652.
- [52] Irvine T. W., Baragar W. R. A., "A guide to the chemical classification of the common Volcanic rocks", *Canadian Journal of Earth Sciences* 8 (1971) 523-548.
- [53] Peccerillo A., Taylor S. R., "Geochemistry of Eocene calc-alkaline volcanic rocks from the Kastamonu area, Northern Turkey", *Contributions to Mineralogy and Petrology* 58 (1976) 63-81.
- [54] Rollinson H., "Using geochemical data: evaluation presentation", interpretation Singapore.longman (1993) 1- 352.
- [55] Sun S. S., McDonough W. F., "Chemical and isotopic systematics of oceanic basalts: implications for mantle composition and processes", In: Saunders, A.D.,and Norry, M.J.(Eds.), Magmatism in the Ocean Basins, Geological Society of London Special Publication 42 (1989) 313-345.
- [56] Nakamura N., "Determination of REE, Ba, Fe, Mg, Na and K in carbonaceous and ordinary chondrites", *Geochimical Acta* 38 (1974) 757-775.
- [57] Downes H., "Formation and modification of the shallow sub – continental lithospheric mantle: A review of geochemical evidence from ultramafic xenolith suites and tectonically emplaced ultramafic massifs of western and Central Europe", *Journal of petrology* 42 (2001) 233-250.
- [58] Godard M., Jousselin D., Bodinier J. L., "Relationships between geochemistry and structure beneath a palaeo-spreading centre: a study of the mantle section in the Oman ophiolite", *Earth and Planetary Science Letters* 180 (1-2) (2000) 133-148.
- [59] Gorton M. P., Schandl E. S., "From Continents to Island Arcs: A geochemical Index of Tectonic Setting for A RC-Related and Within-plate Felsic to Intermediate Volcanic rocks", *The Canadian Mineralogist* 38 (2000) 1065-1073.
- [60] Johnson K. T. M., Dick H. J. B., Shimizu N., "Melting in the oceanic upper mantle: an ion microprobe study of diopsides in abyssal peridotites", *Journal of Geophysical Research* 95 (1990) 2661-2678.
- ultramafic rocks", Journal of Petrology* 42 (2001) 2279-2302.
- [40] Hirose K., Kawamoto T., "Hydrous partial melting of lherzolite at 1 Gpa: effect of H<sub>2</sub>O on the genesis of basaltic magmas", *Earth and Planetary Science Letters* 133 (1995) 463-473.
- [41] Lee Y., "Geotectonic signification of detrital chromian spinel A review", *Geoscience Journal* 3 (1999) 23-29.
- [42] Kamenetsky V. S., Crawford A.J., Meffre S., "Factors controlling chemistry of magmatic spinel: An empirical study of associated olivine, Cr-spinel and melt inclusions from primitive rocks", *Journal Petrology* 42 (2001) 655-671.
- [43] Beccaluva L., Girolamo D., Maciotta G., Morra V., "Magma affinities and fractionation trends in ophiolites", *Ophioliti* 8 (1983) 307–324.
- [44] Arai S., "Chemistry of chromian spinel in volcanic rocks as a potential guide to magma chemistry", *Mineralogical Magazine* 56 (1992) 173–184.
- [45] Conrad W. K., Kay R. W., "Ultramafic and mafic inclusions from Adak Island: crystallisation history and implications for the nature of primary magmas and crustal evolution in the Aleutian arc", *Journal of Petrology* 25 (1984) 88-125.
- [46] Haggerty S. E., "Upper mantle opaque mineral stratigraphy and the genesis of metasomatites and alkali-rich melts", *Journal of Geological Society of Australia* 14 (1988) 687–699.
- [47] Kepezhinskas P. K., Defant M. J., Drummond M. S., "Na metasomatism in the island-arc mantle by slab melt- peridotite interaction: evidence from mantle xenoliths in the North Kamchatka arc", *Journal of Petrology* 36 (1995) 1505-1527.
- [48] Arai S., "Characterization of spinel peridotites by olivine–spinel compositional relationships: review and interpretation", *Chemical Geology* 113 (1994) 191– 204.
- [49] Kornprobst J., Ohnenstetter D., Ohnenstetter M., "Na and Crcontents in Cpx from peridotites: a possible discriminant between sub-continental and sub-oceanic mantle", *Earth and Planetary Science Letters* 53 (1981) 241-254.
- [50] Brey G. P., Köhler T., "Geothermobarometry in four-phase lherzolites II. New thermobarometers, and practical assessment of